

Geometria Computacional

Triangulações

Claudio Esperança
Paulo Roma Cavalcanti



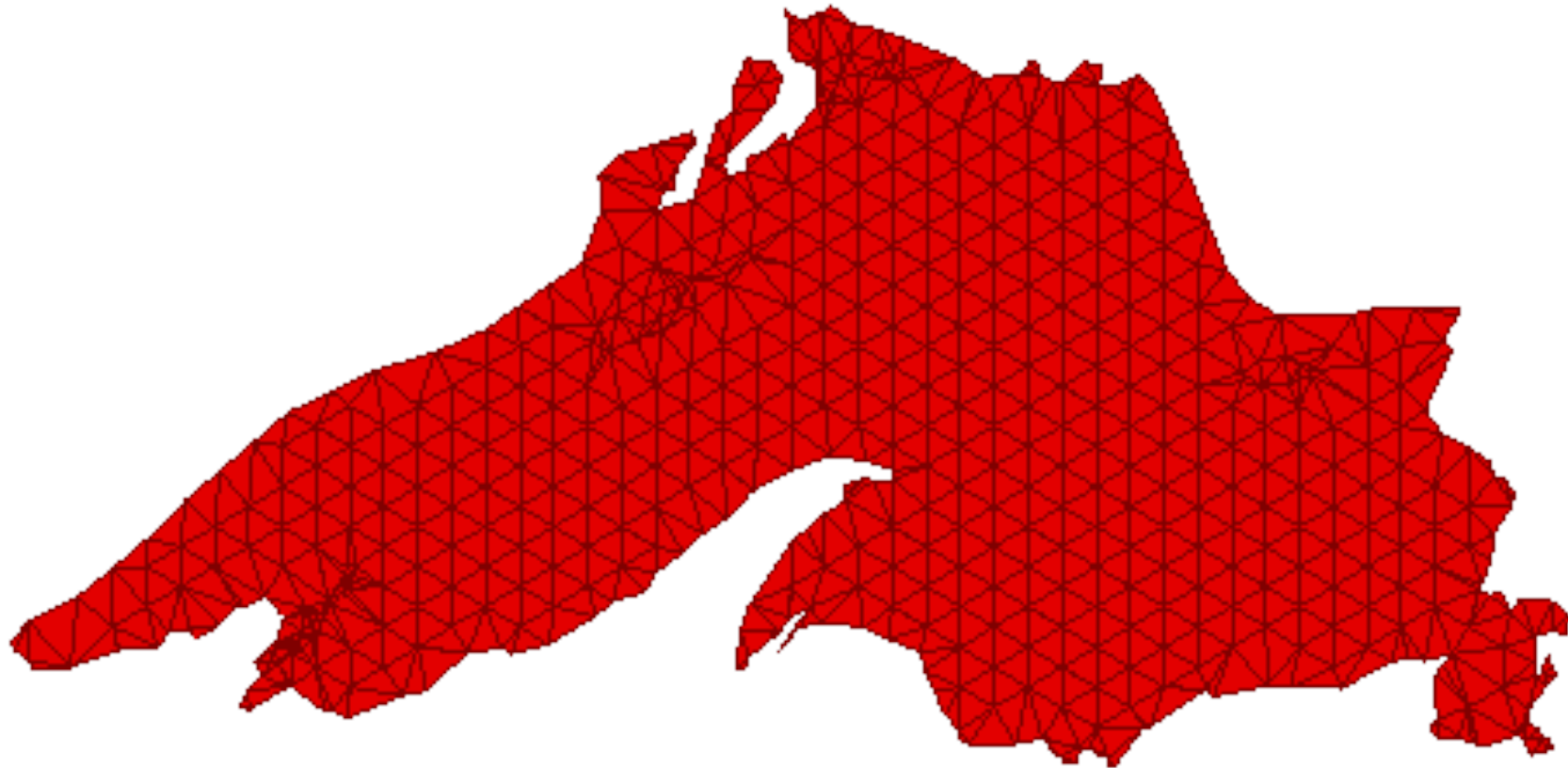
Problema

- Dado um conjunto P de pontos do R^n , decompor o seu fecho convexo $\text{conv}(P)$ num complexo simplicial cuja união seja $\text{conv}(P)$ e cujo conjunto de vértices contenha P .
- Não existe uma solução única para esse problema.
- No plano, toda triangulação de $\text{conv}(P)$ possui exatamente $(2n - v - 2)$ triângulos e $(3n - v - 3)$ arestas, onde v é o número de pontos de P na fronteira de $\text{conv}(P)$, n a cardinalidade de P e a o número de arestas.
 - Use a fórmula de Euler para esfera:

$$V - A + F = 2.$$



Exemplo: Lago Superior



Dedução

- O número de faces F é igual ao número de triângulos $T + 1$, pois tem-se de considerar a face externa ilimitada no plano.

$$n - a + (T + 1) = 2$$

- Cada triângulo possui 3 arestas. Como cada aresta aparece em 2 triângulos, arestas são contadas duas vezes.

$$3T + v = 2a \Rightarrow a = \frac{3T + v}{2}$$

$$n + T + 1 = \frac{3T + v}{2} + 2$$

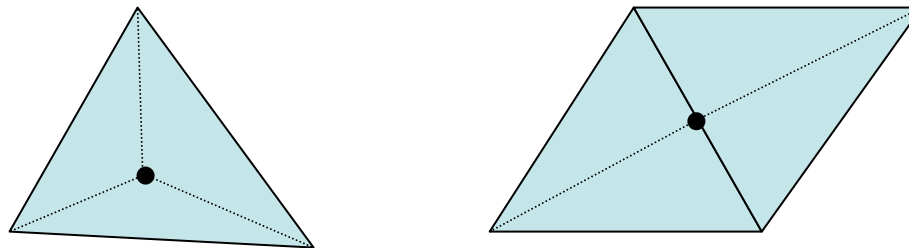
$$2n + 2T + 2 = 3T + v + 4$$

$$T = 2n - v - 2 \quad \text{e} \quad a = 3n - v - 3$$



Algoritmo Força Bruta

- Obtenha $conv(P)$ e triangule-o por diagonais. Cada ponto que não esteja na fronteira de $conv(P)$ é inserido em $conv(P)$ e o triângulo que o contém é subdividido.
 - Algoritmo $O(n \log n)$ para achar $conv(P)$.
 - Inclusão de cada ponto é $O(n)$.
 - Algoritmo completo é $O(n^2)$.



Problema Resolvido?

- Embora todas as triangulações de $\text{conv}(P)$ tenham o mesmo número de triângulos, a forma dos triângulos é muito importante em aplicações numéricas.
- Triangulação de Delaunay tem a importante propriedade de, entre todas as triangulações de $\text{conv}(P)$, maximizar o menor de todos os ângulos internos dos triângulos.
 - Isso só é verdade no R^2 .



Como Triangular?

- Uma triangulação fornece uma estrutura combinatória a um conjunto de pontos.
- Na realidade, um algoritmo de triangulação fornece **regras** para conectar pontos “próximos”.
- A triangulação de Delaunay conecta os pontos baseado em um único critério: círculos vazios.
 - Conceitualmente simples e fácil de implementar.
 - O critério de proximidade vem do **Diagrama de Voronoi**.



Diagrama de Voronoi

- É uma partição do R^n em polígonos convexos associados a um conjunto de sítios (**tesselação** de Dirichlet).
- O conceito foi discutido em 1850 por Dirichlet e em 1908 num artigo do matemático russo Georges Voronoi.
- É a segunda estrutura mais importante em Geometria Computacional perdendo apenas para o fecho convexo.
- Possui todas as informações necessárias sobre a proximidade de um conjunto de pontos.
- É a estrutura dual da triangulação de Delaunay.



Definições

- Seja $P = \{p_1, p_2, \dots, p_n\}$ um conjunto de pontos do plano euclidiano, chamados de sítios. Particione o plano atribuindo a cada ponto do plano o sítio mais próximo.
 - Todos os pontos associados a p_i formam um polígono de Voronoi $V(p_i)$:

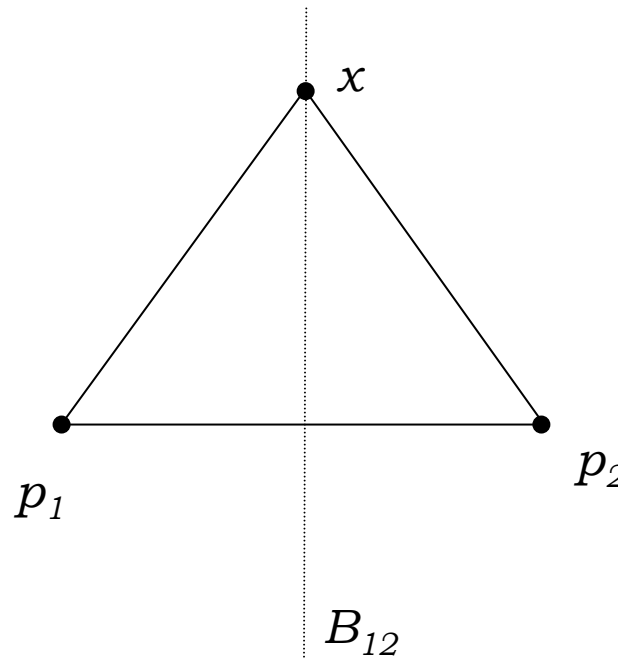
$$V(p_i) = \left\{ x : |p_i - x| \leq |p_j - x| \forall j \neq i \right\}$$

- O conjunto de todos os pontos associados a mais de um sítio forma o diagrama de Voronoi $Vor(P)$.



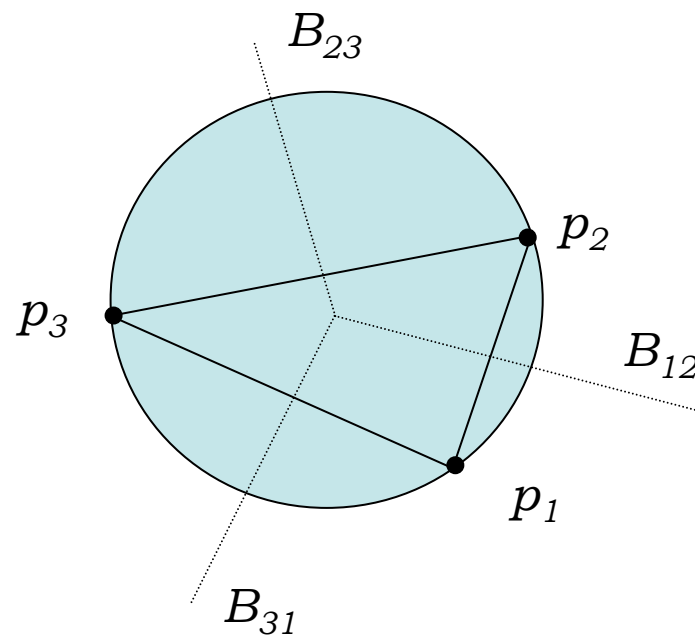
Dois Sítios

- Sejam p_1 e p_2 dois sítios e $B(p_1, p_2) = B_{12}$ a mediatriz do segmento p_1p_2 .
 - Cada ponto $x \in B_{12}$ é eqüidistante de p_1 e p_2 (congruência lado-ângulo-lado).



Três Sítios

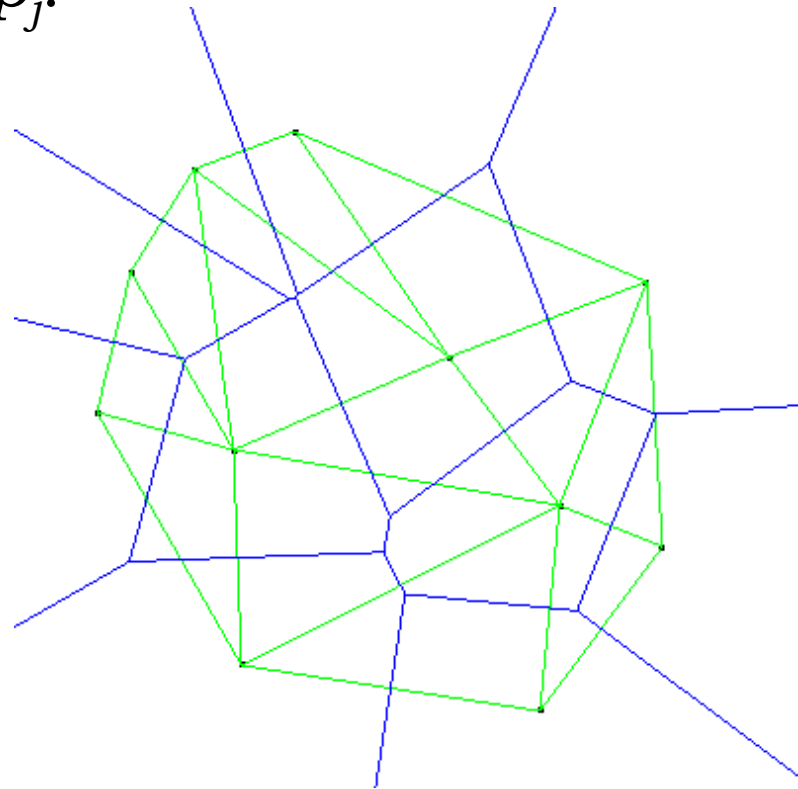
- A menos do triângulo (p_1, p_2, p_3) , o diagrama contém as mediatrizes B_{12} , B_{23} , B_{31} .
- As mediatrizes dos lados de um triângulo se encontram no **circuncentro** do círculo único que passa pelos três vértices (Euclides).



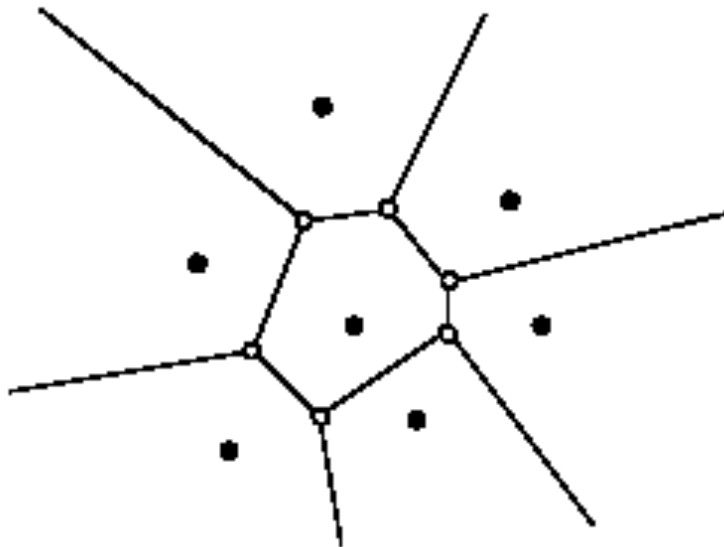
Semi-planos

- A generalização para mais de três pontos corresponde ao local geométrico da interseção dos semi-planos fechados $H(p_i, p_j)$, dos pontos mais próximos de p_i do que de p_j .

$$V(p_i) = \bigcap_{i \neq j} H(p_i, p_j)$$



Voronoi de 7 pontos



- 7 pontos definem o mesmo número de polígonos de Voronoi.
- Um dos polígonos é limitado porque o sítio correspondente está completamente cercado por outros sítios.
- Cada ponto do R^2 possui pelo menos um vizinho mais próximo. Logo, ele pertence a pelo menos um polígono de Voronoi.
 - Assim, o diagrama de Voronoi cobre completamente o plano.

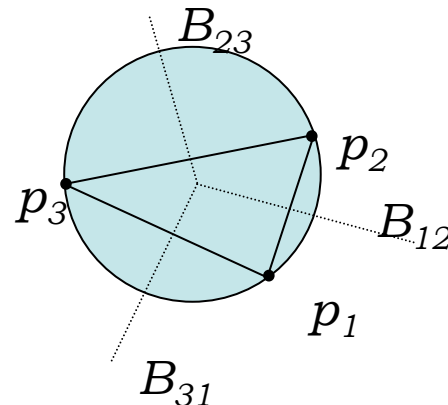
Teoremas

- Os polígonos de Voronoi correspondentes a um par de pontos x_i e x_j possuem uma aresta comum, se e somente se existem pontos (aqueles da aresta comum) que são eqüidistantes dos pontos x_i e x_j que estão mais próximos deles do que de qualquer outro ponto de P .
- Um polígono de Voronoi é **ilimitado** se somente se o ponto correspondente x_i pertencer à fronteira de $\text{conv}(P)$.



Círculos Vazios

- Todo vértice v de $Vor(P)$ é comum a pelo menos três polígonos de Voronoi e é centro de um círculo $C(v)$ definido pelos pontos de P correspondentes aos polígonos que se encontram em v . Além disso, $C(v)$ não contém nenhum outro ponto de P .
- Os pontos de P estão em **posição geral** se nenhum sub-conjunto de P contém 4 pontos co-circulares.



Algoritmo para Voronoi

- Pode-se determinar os conjuntos T_1, T_2, \dots, T_t de P que determinam **círculos vazios** para construir $Vor(P)$.
 - Cada T_k é formado por três ou mais pontos co-circulares de P .
 - Se os pontos de P estão em posição geral, todo T_k contém exatamente 3 sítios de P .
 - As arestas de $Vor(P)$ são os segmentos mediatrizes correspondentes a pontos consecutivos dos T_k .
 - Uma vez conhecidos todos os T_k , $Vor(P)$ pode ser determinado em tempo linear.



Ligação entre Voronoi e Delaunay

- No diagrama de Voronoi cada sítio está associado a um polígono (face) de $Vor(P)$.
- O grafo dual tem por vértices os sítios de $Vor(P)$, e por arestas os pares de sítios cujos polígonos são vizinhos.
- O grafo dual é Chamado de **triangulação de Delaunay** $Del(P)$.
 - Dois sítios x_i e x_j determinam uma aresta de $Del(P)$ se e somente se existe um círculo C contendo x_i e x_j tal que todos os outros sítios sejam exteriores a C .



Triangulação de Delaunay

- Em 1934, o matemático russo Boris Delaunay provou que quando o grafo dual é desenhado com linhas retas ele produz uma triangulação dos sítios do diagrama de Voronoi (supostos estarem em posição geral).
- Não é óbvio que as arestas de $Del(P)$ não se cruzam, já que uma aresta entre dois sítios não cruza, necessariamente, a aresta de Voronoi correspondente.

Propriedades de Delaunay

- D_1 . $Del(P)$ é o dual com arestas retilíneas de $Vor(P)$.
- D_2 . $Del(P)$ é uma triangulação se nenhum grupo de 4 pontos forem co-circulares. Cada face é um triângulo (teorema de Delaunay).
- D_3 . Cada triângulo de $Del(P)$ corresponde a um vértice de $Vor(P)$.
- D_4 . Cada aresta de $Del(P)$ corresponde a uma aresta de $Vor(P)$.
- D_5 . Cada vértice de $Del(P)$ corresponde a um polígono (face) de $Vor(P)$.
- D_6 . A fronteira de $Del(P)$ é o fecho convexo dos sítios.
- D_7 . O interior de cada triângulo (face) de $Del(P)$ não contém sítios.



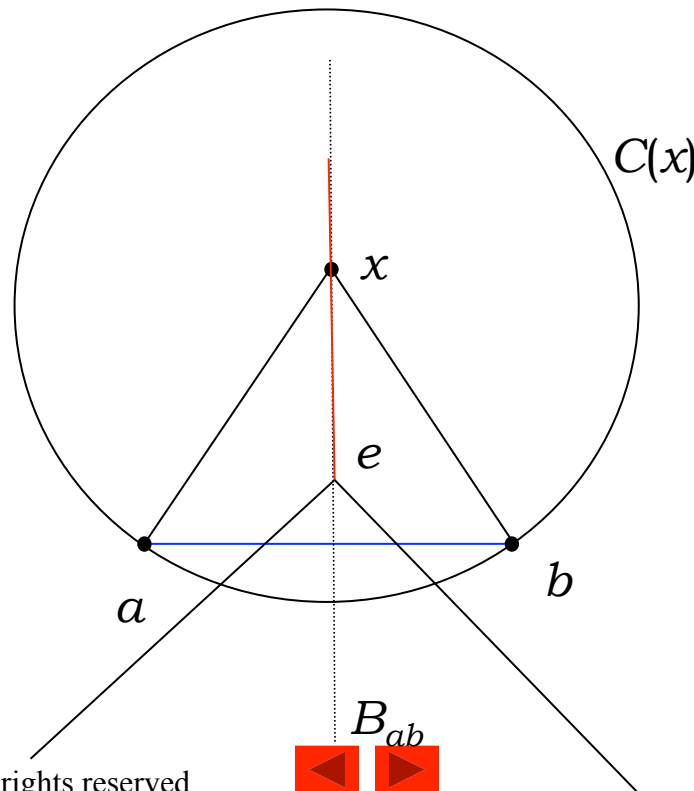
Propriedades de Voronoi

- V_1 . Todo polígono $V(p_j)$ de Voronoi é convexo.
- V_2 . $V(p_j)$ é ilimitado se e só se p_i está no fecho convexo.
- V_3 . Se v for um vértice de Voronoi na junção de $V(p_1)$, $V(p_2)$, $V(p_3)$ então v é o centro do círculo $C(v)$ que passa por p_1, p_2, p_3 .
- V_4 . $C(v)$ é o círculo circunscrito ao triângulo correspondente a v .
- V_5 . $C(v)$ é vazio (não contém outros sítios).
- V_6 . Se p_i for o vizinho mais próximo de p_j , então $p_i p_j$ é uma aresta de $Del(P)$.
- V_7 . Se existir um círculo vazio passando por p_i e p_j , então $p_i p_j$ é uma aresta de $Del(P)$.



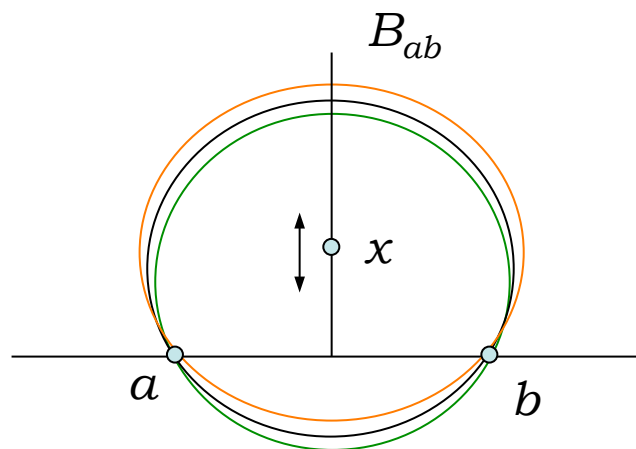
Prova de V_7

- Se ab é uma aresta de Delaunay, então $V(a)$ e $V(b)$ compartilham uma aresta e de $Vor(P)$. Seja um círculo $C(x)$ com centro x no interior de e , de raio igual a distância até a ou b .
 - $C(x)$ é vazio. Caso contrário, um sítio c estaria sobre ou dentro de $C(x)$ e x estaria em $V(c)$ também. Isto é absurdo porque x está em $V(a)$ e $V(b)$ apenas.

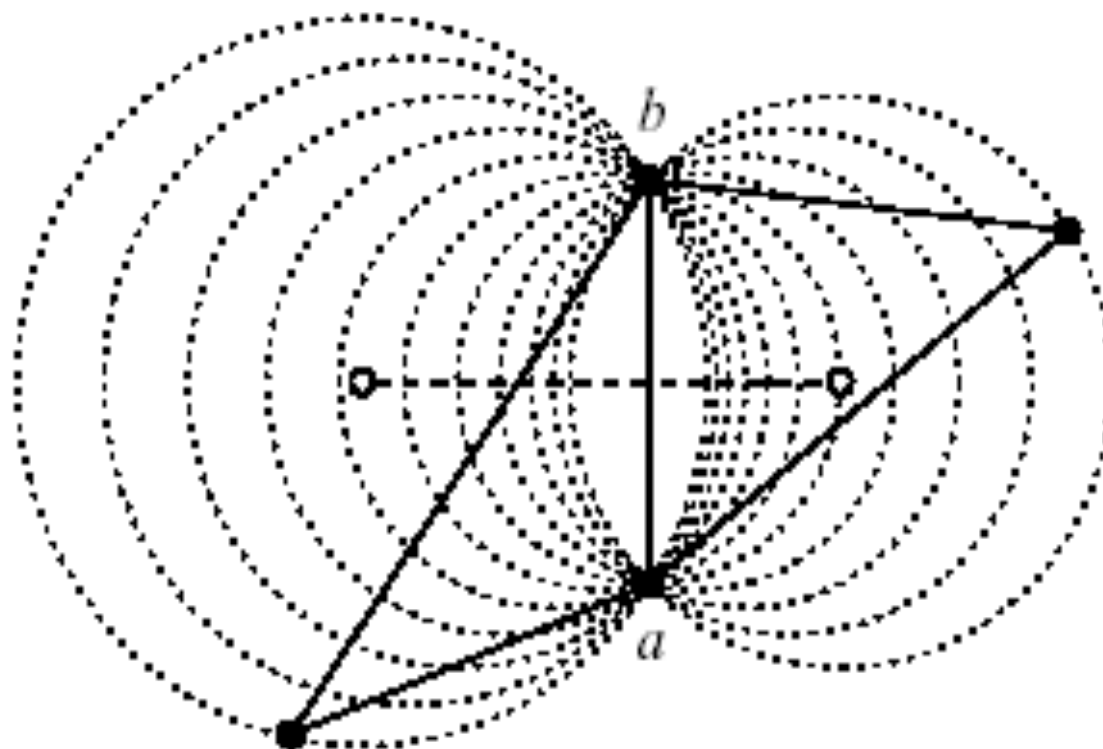


Prova de V_7

- Suponha agora que exista um círculo $C(x)$ vazio passando por a e b , e com centro x . Já que x é eqüidistante de a e b , x está em $V(a)$ e $V(b)$.
 - Há uma certa liberdade para mover x ao longo da mediatriz de ab , mantendo o círculo vazio e passando por a e b . Logo, x está em uma aresta de Voronoi compartilhada por $V(a)$ e $V(b)$.
 - $x \in V(a) \cap V(b) \Rightarrow ab \in Del(P)$.



Feixe de Círculos Vazios de um Segmento



Teorema de Delaunay

- Seja $P = \{x_1, x_2, \dots, x_n\}$ um conjunto de pontos do plano e seja $\{T_k\}$ a família de subconjuntos ordenados de P que determinam círculos vazios.
 - a) O diagrama de Delaunay obtido ligando os pontos consecutivos de cada T_k é uma realização de um grafo planar.
 - b) As arestas correspondentes a cada T_k delimitam uma região convexa R_k .
 - c) Essas regiões possuem interiores disjuntos e sua união é o fecho convexo de P .
 - d) As regiões R_k são exatamente as faces limitadas do diagrama planar determinado por $Del(P)$.
 - e) Se os pontos de P estão em posição geral, então os R_k determinam uma triangulação de $conv(P)$, chamada **Triangulação de Delaunay**.

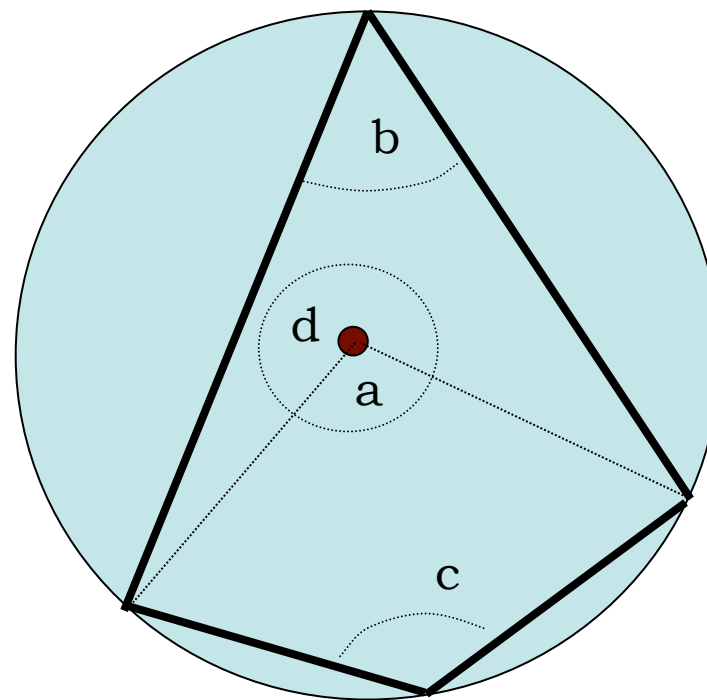


Lema 0

$$a + d = 2\pi$$

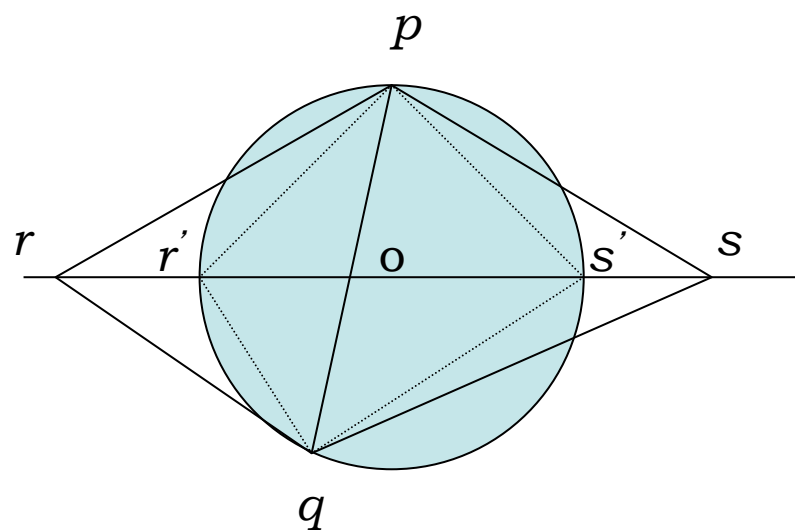
$$b = \frac{a}{2}, c = \frac{d}{2}$$

$$b + c = \pi$$



Lema 1

- Sejam pq e rs dois segmentos do plano que se interceptam em o . Então para que um círculo passe por p e q com r e s exteriores, é necessário e suficiente que os ângulos do quadrilátero $prqs$ sejam tais que $p + q > \pi$ ou $r + s < \pi$.



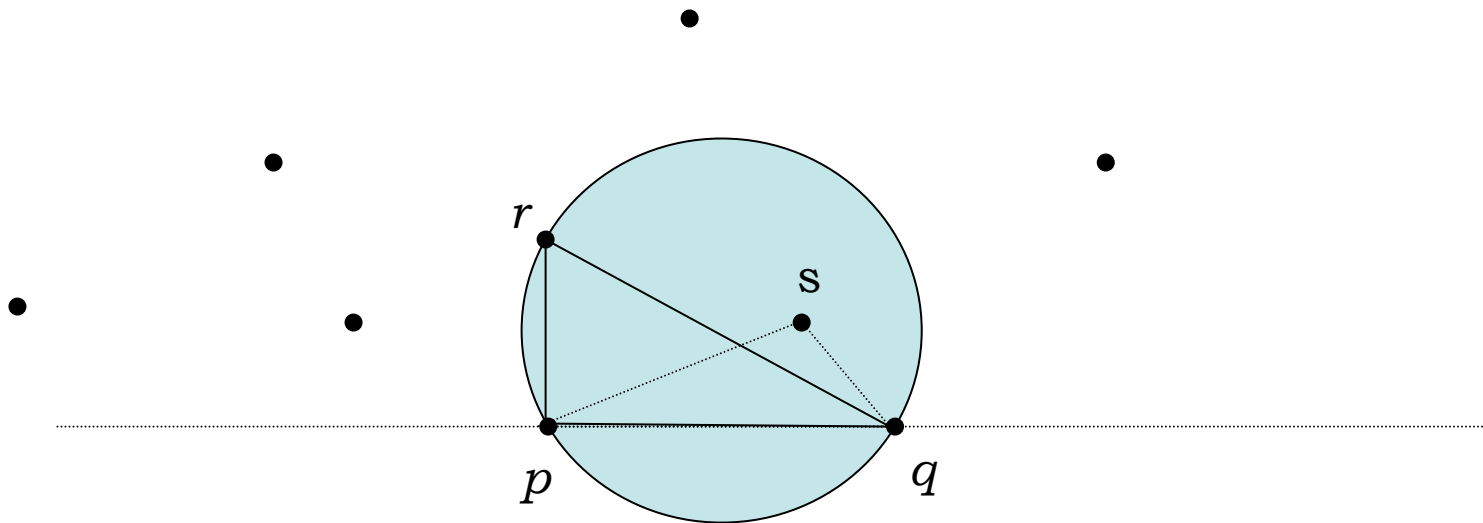
Prova do Lema 1

- Sejam r' e s' as interseções de rs com o círculo.
 - $p + q + r + s = p + q + r' + s' = 2\pi$
 - Soma dos ângulos internos de um polígono é $(n-2)\pi$
 - $r + s < r' + s' = \pi$ ($pr'qs'$ está inscrito).
 - Do mesmo modo, se $r + s < \pi$ então existem r' e s' sobre rs tal que $r' + s' = \pi$



Lema 2

- Se pqr é um triângulo de uma triangulação de Delaunay, de $\text{conv}(P)$, então o ângulo prq é máximo dentre todos os ângulos da forma psq , onde s pertence a P e está no mesmo semi-plano de r em relação a pq .
 - Se $\angle psq > \angle prq$ então s está no interior do círculo definido por p , q e r . Logo, pqr não pode ser um triângulo de Delaunay.



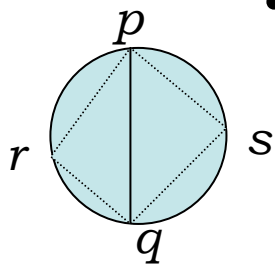
Prova do Teorema de Delaunay (c)

- Vamos mostrar primeiro que as arestas de $Del(P)$ só se intersectam em sítios para em seguida mostrar que a união dos R_k é igual a $conv(P)$.
- Suponha que pq e rs são duas arestas de $Del(P)$ que se intersectam em o e $V(p)$ e $V(q)$ os polígonos de Voronoi correspondentes a p e q .
- $V(p)$ e $V(q)$ possuem uma aresta comum e por isso há um círculo passando por p e q com r e s exteriores a ele.
 - Pelo lema, no quadrilátero $prqs$, temos $r + s < \pi$. Por conseguinte, não há círculo passando por r e s que exclua p e q .
 - Logo, $V(r)$ e $V(s)$ não possuem uma aresta comum, ou seja, $rs \notin Del(P)$.



Prova do Teorema de Delaunay (c)

- As arestas de cada T_k são lados de um polígono inscrito em um círculo. Logo, determinam um polígono convexo.
- O círculo associado a T_k não contém nenhum outro sítio, por definição.
- Vimos que as arestas de $Del(P)$ só se intersectam em sítios.
 - Logo, se os R_k forem triângulos os seus interiores são disjuntos.
 - Se algum R_k for um polígono com mais de 3 lados, a única outra possibilidade seria se houvesse uma aresta de Delaunay pq definida por vértices não consecutivos de T_k .
 - Isso não ocorre porque no quadrilátero $pqrs$, $p + q = \pi$. Assim, não pode haver um círculo passando por p e q com r e s exteriores. Logo $pq \notin Del(P)$.



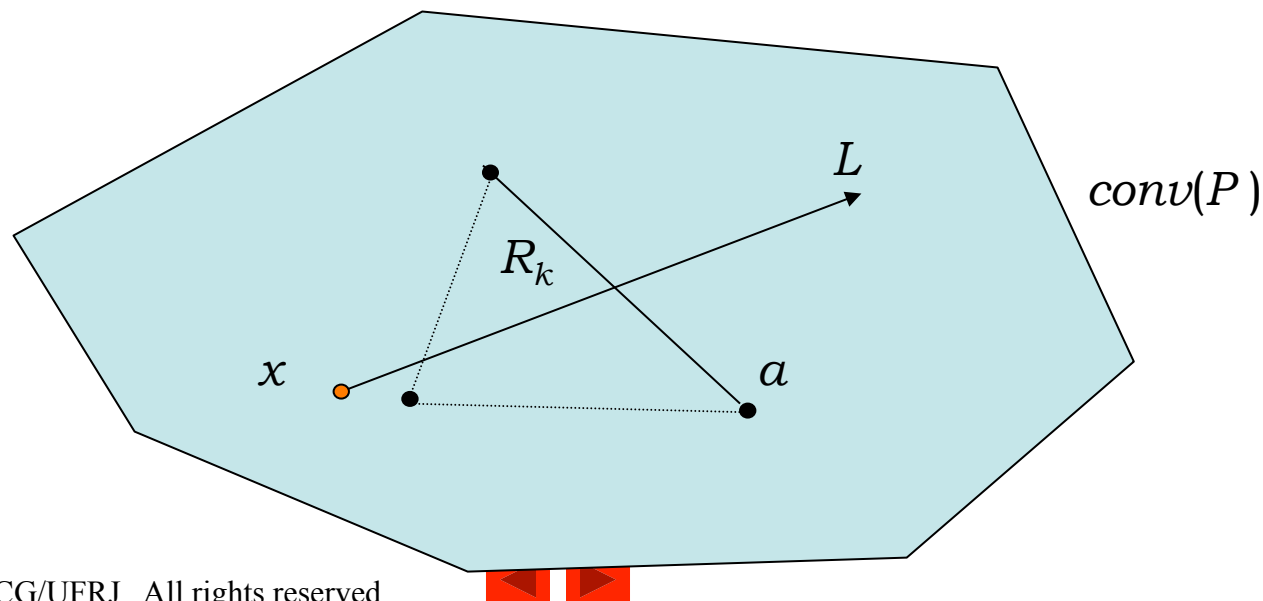
Prova do Teorema de Delaunay (c)

- Segmentos $x_i x_j$ da fronteira de $\text{conv}(P)$ fazem parte de $\text{Del}(P)$.
 - Basta tomar como centro qualquer ponto da mediatriz suficientemente distante, já que não há sítios fora de $\text{conv}(P)$.
- Qualquer aresta de $\text{Del}(P)$ delimita uma ou duas regiões (apenas uma, no caso de estar na fronteira de $\text{conv}(P)$).
- R_k são regiões convexas contidas em $\text{conv}(P)$. Logo, a união dos R_k está contida em $\text{conv}(P)$.
- Seja x um ponto arbitrário de $\text{conv}(P)$. Se x estiver sobre alguma aresta ou vértice de $\text{Del}(P)$, então x pertence a algum R_k .
 - Senão, considere uma reta L qualquer com origem em x e que não passe por nenhum outro sítio.



Prova do Teorema de Delaunay (c)

- Seja a a primeira aresta intersectada por L , e R_k a região adjacente a a no mesmo semi-plano de x .
 - Pelo Lema 2, esta região existe, já que deve haver pelo menos um outro sítio no mesmo semi-plano de x , pois x está em $\text{conv}(P)$.
- Se $x \notin R_k$, então certamente L intersectaria uma outra aresta de R_k e a não teria sido a primeira interseção. Logo, $x \in R_k$.
- Assim, as regiões R_k realmente cobrem $\text{conv}(P)$ e portanto sua união é igual a $\text{conv}(P)$.



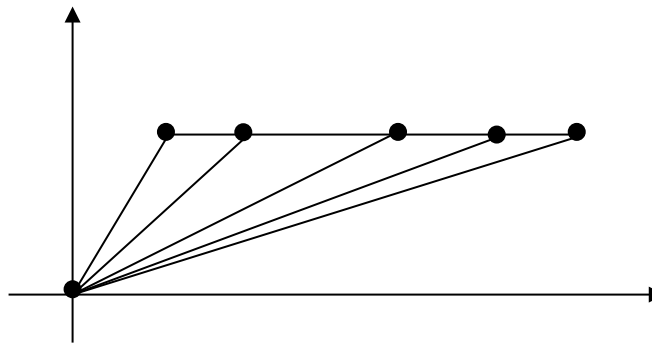
Cotas

- O diagrama de Voronoi de um conjunto P com n sítios tem no máximo $2n-5$ vértices e $3n-6$ arestas.
 - O maior número de arestas ocorre quando todas as faces de $Del(P)$ são triangulares e $conv(P)$ também é um triângulo (substitua v por 3).
 - Diagrama de Voronoi e triangulação de Delaunay são redutíveis um ao outro em tempo linear.
 - Embora o diagrama de Delaunay não produza sempre uma triangulação, caso os pontos não estejam em posição geral, cada região convexa R_k com m vértices pode ser triangulada por $m-3$ diagonais.



Cota Inferior

- O diagrama de Voronoi fornece uma triangulação de $\text{conv}(P)$ em tempo linear.
- O problema de ordenação pode ser reduzido ao problema de triangulação.
 - Dados $\{x_1, x_2, \dots, x_n\}$ crie $P = \{(0,0), p_1, p_2, \dots, p_n\}$ onde $p_i = (x_i, 1)$.
 - Logo, Voronoi e Delaunay $\in \Omega(n \log n)$.



Qualidade dos Triângulos

- Seja T uma triangulação de um conjunto de pontos S , e seja a seqüência angular $(\alpha_1, \alpha_2, \dots, \alpha_{3t})$ a lista dos ângulos dos triângulos ordenada em ordem crescente (t é o número de triângulos).
 - t é constante para cada S .
 - $T > T'$ se a seqüência angular de T for maior lexicograficamente do que a de T' .
 - A triangulação de Delaunay $T = Del(P)$ é **maximal** em relação à forma angular: $T \geq T'$ para qualquer outra triangulação T' de P (Edelsbrunner – 1987).
 - Maximiza o menor ângulo.



Algoritmos para Triangulação de Delaunay

- O lema 2 pode ser usado para construir uma triangulação de Delaunay em $O(n^2)$.
- Um algoritmo complexo para encontrar o diagrama de Voronoi em $O(n \log n)$ foi detalhado por Shamos e Hoey (1975).
 - Usa dividir para conquistar.
 - Este artigo introduziu o diagrama de Voronoi à comunidade de computação.
 - O algoritmo é muito difícil de implementar, mas pode ser feito utilizando-se uma estrutura de dados adequada, como a Quadedge de Guibas e Stolfi (1985).
- Algoritmo incremental costuma ser muito usado por ser mais fácil de implementar, mas também é $O(n^2)$.
 - Se for randomizado o tempo médio é $O(n \log n)$.



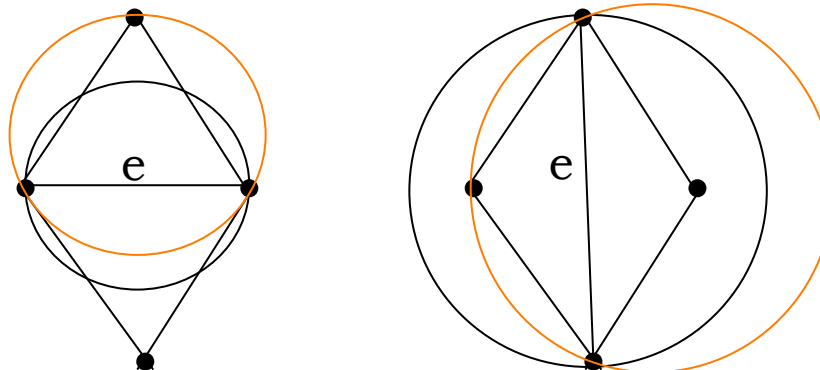
Algoritmo 1

- Encontre uma aresta de Delaunay em $\text{conv}(P)$ como na varredura de Graham.
- Ache o triângulo adjacente pelo lema 2 e coloque-o em uma fila F e numa estrutura tipo WE (*winged edge*).
- Enquanto $F \neq \emptyset$, faça:
 - Remova um triângulo T de F .
 - Para cada aresta livre de T
 - Determine a face adjacente T' pelo lema 2
 - Insira T' em F
 - Insira T' em WE marcando as suas arestas livres



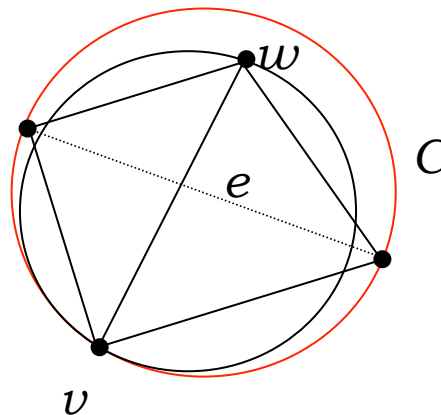
Algoritmo 2

- Lawson criou em 1972 um algoritmo bastante elegante baseado em flip de arestas.
- O algoritmo começa com uma triangulação arbitrária e procura por arestas que não sejam localmente Delaunay.
 - Para verificar se uma aresta e é localmente Delaunay, olha-se apenas para os dois triângulos incidentes em e .
 - Há apenas duas maneiras de triangular o fecho convexo de 4 pontos.



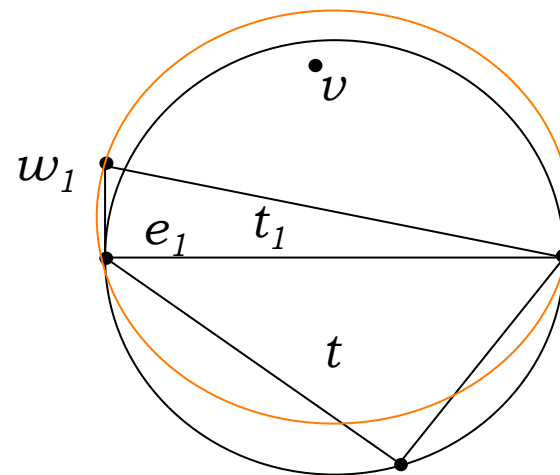
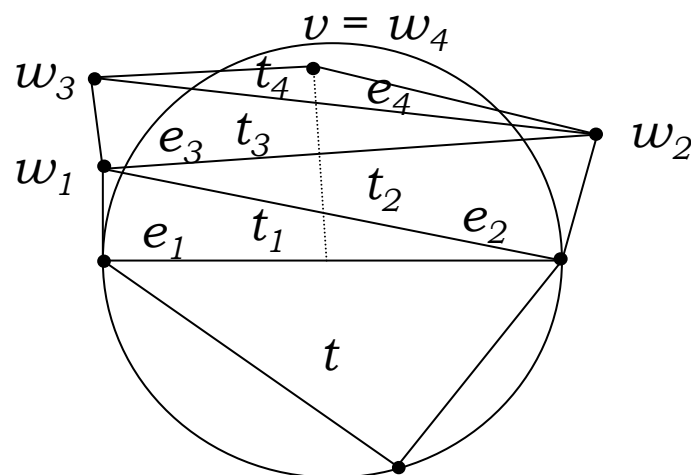
Lema 3

- Seja e uma aresta de uma triangulação de P . Então e é localmente Delaunay ou e pode ser flipado e a nova aresta é localmente Delaunay.
 - Sejam v e w os vértices opostos a e .
 - Se w está dentro de C , o quadrilátero é estritamente convexo e e pode ser flipado.
 - O círculo tangente a v passando por w não inclui os vértices de e . Logo, vw é localmente Delaunay.



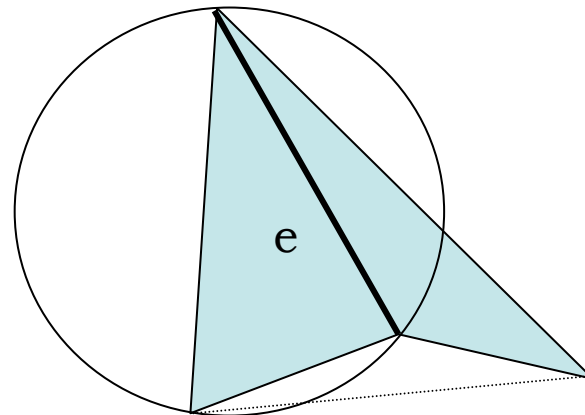
Lema 4

- Seja T uma triangulação cujas arestas são localmente Delaunay. Então toda aresta de T é globalmente Delaunay.
 - Suponha todas as arestas localmente Delaunay, mas alguma aresta não Delaunay. Logo, algum triângulo t não é Delaunay. Seja v o vértice dentro de $C(t)$.
 - Considere o segmento que liga o ponto médio de e_1 a v e a seqüência de aresta e_i intersectadas.
 - e_1 é localmente Delaunay. Logo, w_1 está fora de $C(t)$.
 - Cada $C(t_i)$ inclui v , mas $w_m = v$ é um vértice de t_m . Isso é um absurdo, pois v deveria estar dentro de $C(t_m)$.



Não Há Ciclos Infinitos

- Dada uma triangulação com n vértices, o algoritmo de flip termina após $O(n^2)$ flips de arestas produzindo uma triangulação cujas arestas são globalmente Delaunay.
 - Note-se que quadriláteros côncavos não podem ser flipados. No R^2 isto não é problema porque se o quarto vértice estiver dentro do círculo o quadrilátero será convexo.

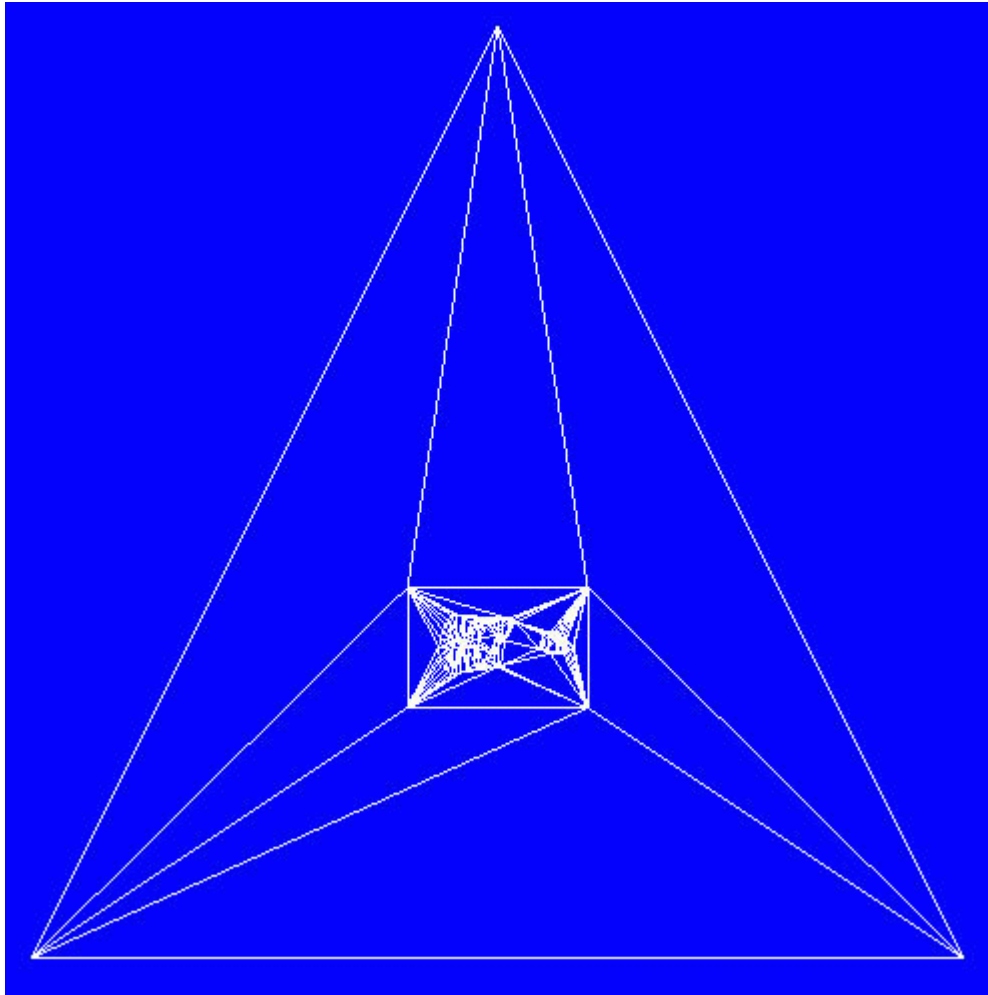


Algoritmo 3

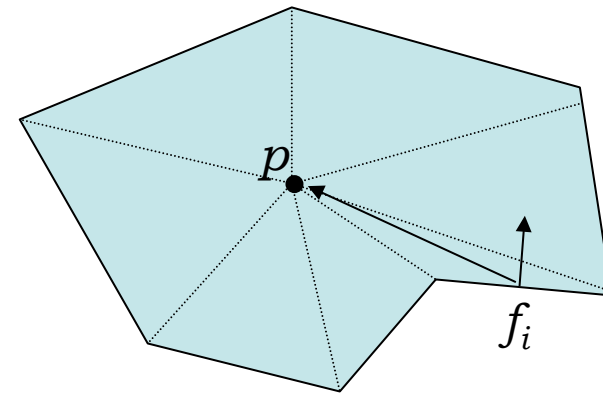
- Watson e Boyer criaram em 1981 os primeiros algoritmos incrementais.
 - Adiciona-se um ponto por vez na triangulação.
 - Inicialmente existe um único simplexo grande o suficiente para conter todos os pontos de P .
 - Quando um novo ponto é inserido, são eliminados todos os simplexos que não estão mais vazios, criando-se uma cavidade poliedral.
 - A **cavidade** é então triangulada ligando-se o novo ponto a todos os vértices na fronteira da cavidade.
 - Para evitarem-se inconsistências estruturais, a cavidade deve ser **estrelada**.
 - $n_i(p-x_i) > 0.0$, onde n_i é a normal da i -ésima face da cavidade, p é o novo ponto e x_i é um ponto qualquer na i -ésima face.
 - No caso do teste falhar elimina-se uma face e um simplexo, criando-se uma cavidade maior.



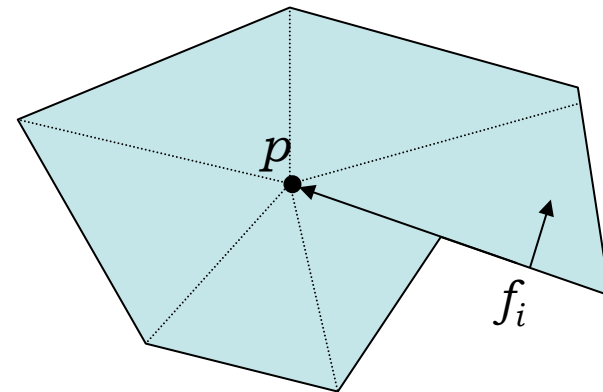
Simplexo Envolvente



Polígono estrelado



Polígono NÃO estrelado

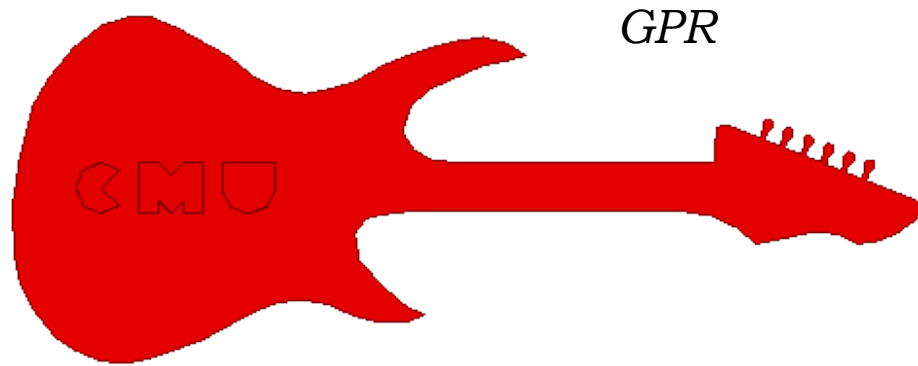


Triangulação de Delaunay Restrita

- Muitas vezes é necessário triangular um grafo planar retilíneo (*GPR*).
 - Basicamente, arestas só se intersectam em vértices, que fazem parte do grafo.
- A triangulação de Delaunay é cega para as arestas de um *GPR*, que podem aparecer na triangulação final ou não.
- Triangulação de Delaunay restrita (*TDR*) é similar a triangulação de Delaunay, mas todos os segmentos do *GPR* devem aparecer na triangulação final.

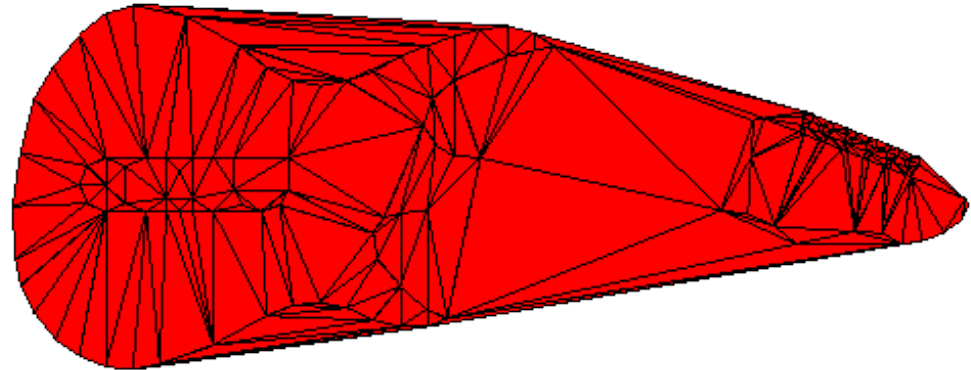


Exemplo

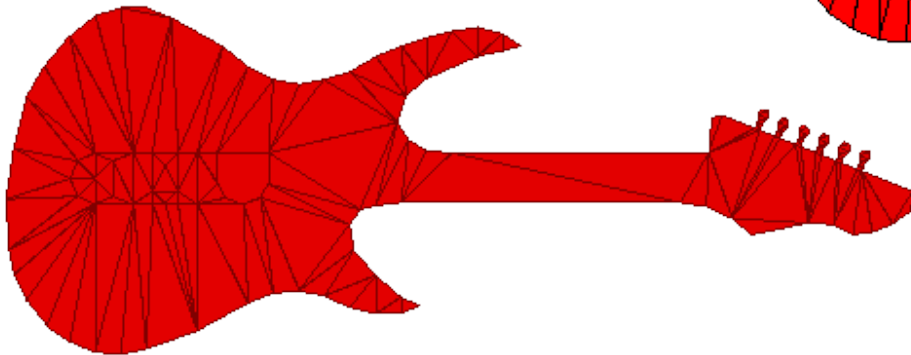


GPR

Triangulação de Delaunay

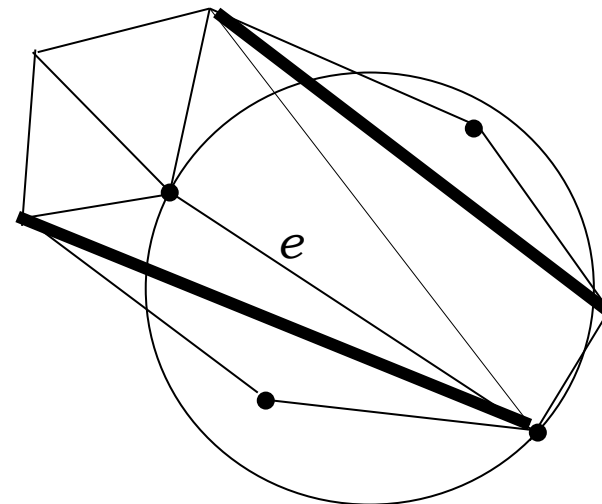
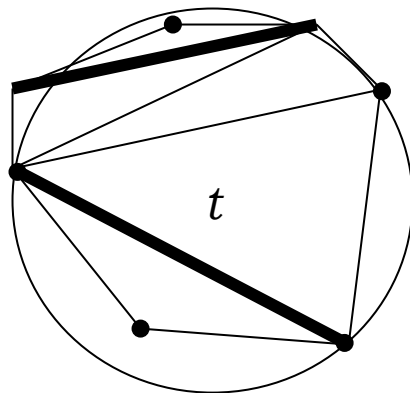


TDR



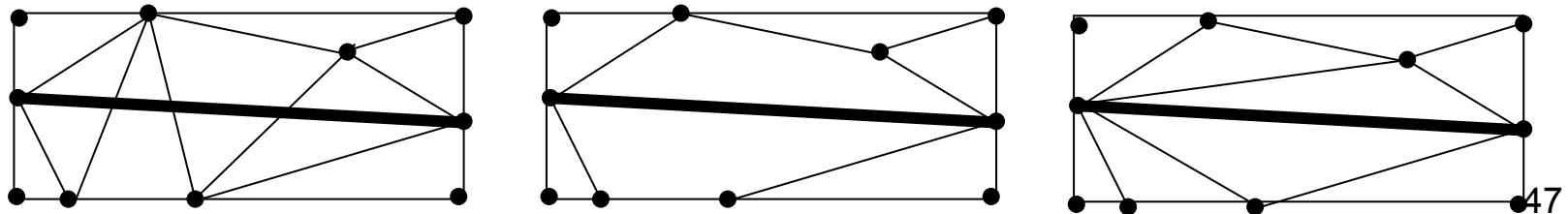
Restrições

- Uma aresta ou triângulo é dito restrito se:
 - Seu interior não intersecta um segmento de entrada.
 - Seu círculo não contém nenhum vértice visível do interior da aresta ou triângulo.
 - Assume-se que segmentos de entrada do *GPR* bloqueiam a visibilidade.
 - *TDR* contém todos os segmentos de entrada e arestas restritas.



Algoritmo para TDR

- Construa uma triangulação qualquer dos vértices do *GPR*.
- Verifique que segmentos não estão presentes e insira-os eliminando primeiro todas as arestas intersectadas.
 - Triangule os dois sub-polígonos obtidos (por diagonais).
- Use flips para obter a *TDR*. Segmentos de entrada não devem ser flipados nunca.



Inserção de Pontos

- Se uma triangulação estritamente Delaunay for necessária, pode-se forçar o aparecimento de segmentos ausentes pela inserção recursiva de novos vértices nos pontos médios destes segmentos.
 - Como vizinhos mais próximos definem arestas de Delaunay, eventualmente um segmento ausente será recuperado como a união de segmentos da triangulação.

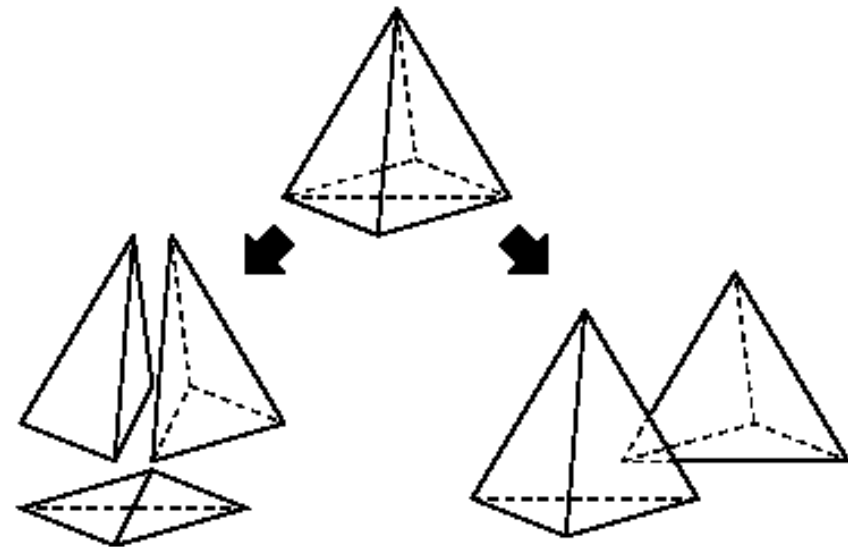
Triangulação de Delaunay 3D

- Os conceitos vistos até aqui continuam válidos, porém com algumas ressalvas:
 - Simplexos são **tetraedros**.
 - Um poliedro arbitrário pode não ser triangulável sem a inserção de pontos.
 - O teste da esfera vazia permite o aparecimento de tetraedros degenerados (*slivers*).
 - Não maximiza o ângulo (diédrico) mínimo.
 - Flips podem ser usados, já que há apenas duas maneiras de triangular o fecho convexo de 5 pontos: com dois ou três tetraedros.
 - A convexidade deve ser explicitamente testada antes de um flip.
 - No caso de uma triangulação restrita, não só as arestas mas também as faces devem ser recuperadas.



Exemplo de *Sliver*

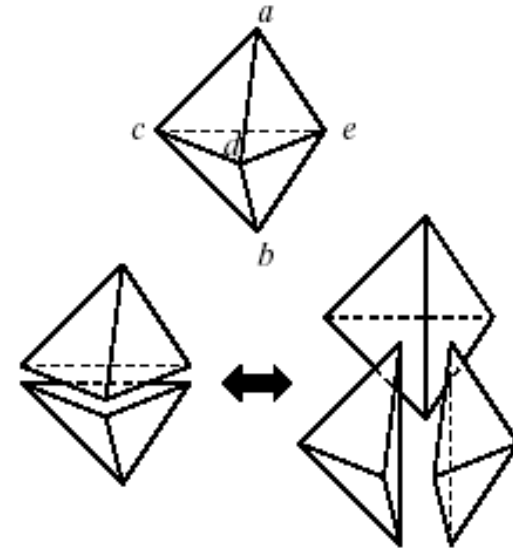
- Este hexaedro pode ser triangulado de duas maneiras:
 - A triangulação de Delaunay à esquerda produz um *sliver*.
 - A triangulação da direita não é Delaunay, mas produz dois tetraedros com boa forma.



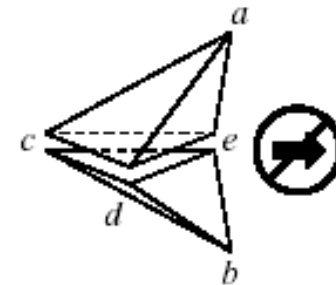
Flips 3D

- Flips 2x3 e 3x2.
 - Os dois tetraedros da esquerda podem ser transformados nos três tetraedros da direita e vice-versa.
- Convexidade deve ser testada.
 - Segmento ab deve passar pelo interior do triângulo cde .

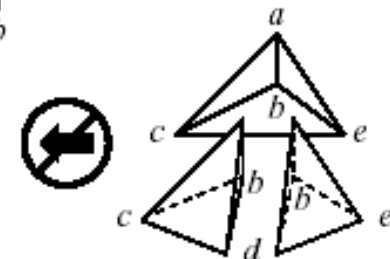
Edge Flip:



Unflippable:

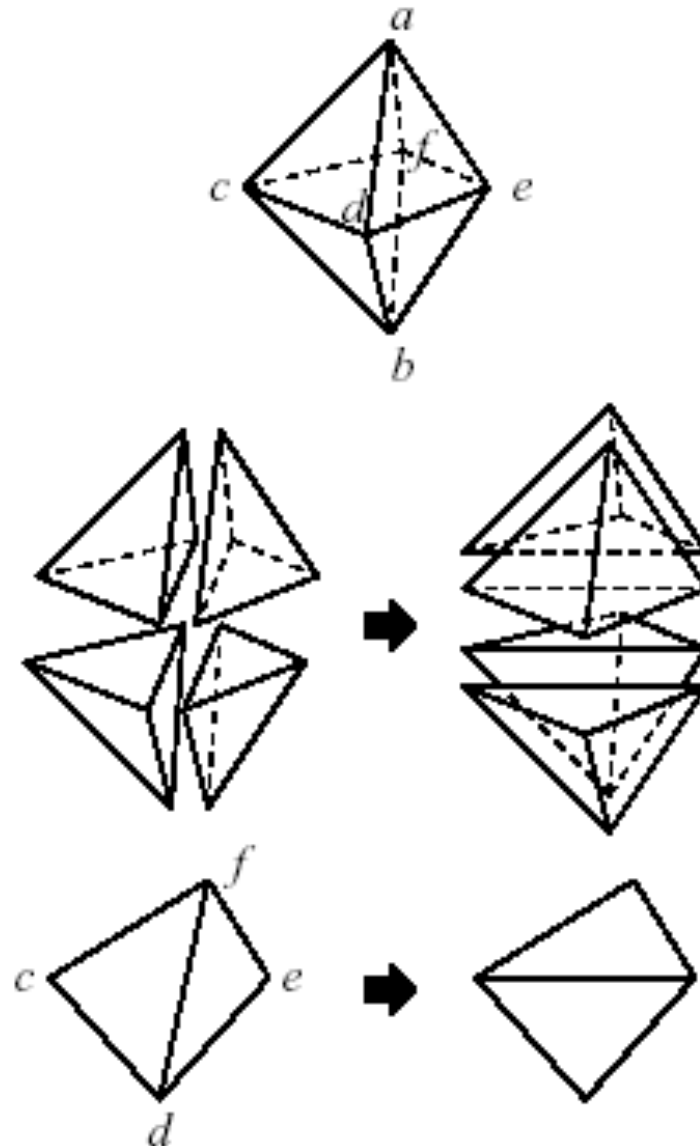


Unflippable:



Flips 3D

- Flip 4x4.
 - Vértices c , d , e , e f são co-planares.
- A transformação é análoga ao flip de aresta 2D mostrado no final.



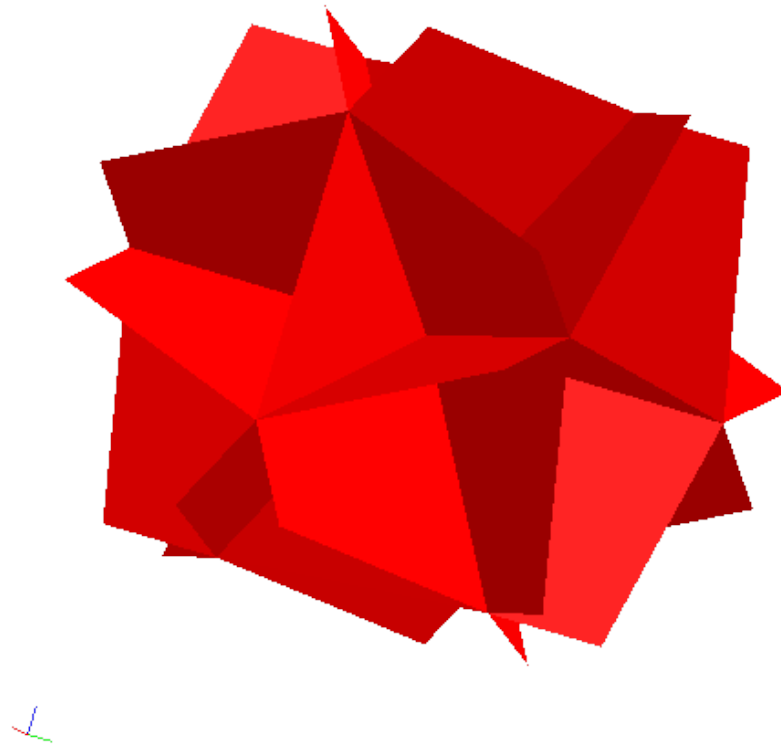
Recuperação de Arestas e Faces

- A recuperação de arestas pode ser feita pela técnica de inserir pontos recursivamente no ponto médio de uma aresta ausente até que ela apareça como união de arestas da triangulação.
- A recuperação de faces normalmente é feita intersectando-se a face ausente contra a triangulação e re-triangulando os tetraedros afetados.
- Flips podem ser usados, mas nem sempre recuperam uma face completamente.



Voronoi 3D

- Os conceitos vistos são todos válidos. Porém agora tem-se poliedros (convexos) de Voronoi.



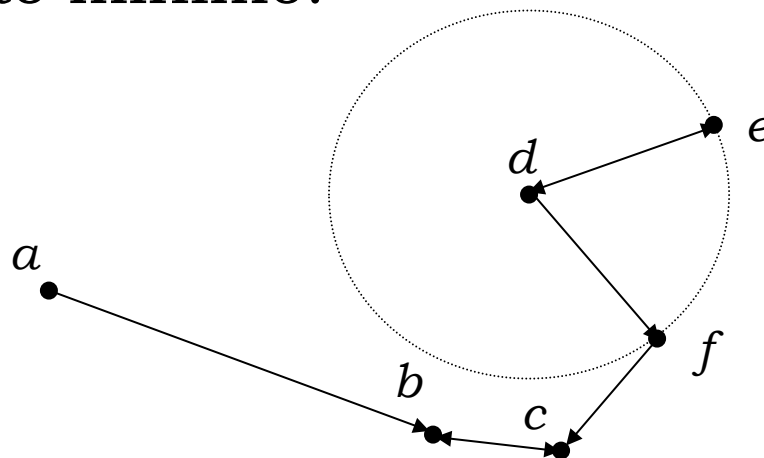
Aplicações

- Vizinhos mais próximos.
 - Qual o vizinho mais próximo de um dado ponto dentre aqueles de um conjunto P ?
 - Ache todos os vizinhos mais próximos de cada ponto de um conjunto P dado.
- A relação de vizinho mais próximo é dada por: b é o vizinho mais próximo de a ($a \rightarrow b$)
 $\Leftrightarrow |a - b| \leq \min_{c \neq a} |a - c|, c \in P.$
 - Note que essa relação não é simétrica: $a \rightarrow b$ não significa que $b \rightarrow a$



Solução

- Consultas de vizinho mais próximo.
 - Construa o diagrama de Voronoi em $O(n \log n)$.
 - Para um ponto $q \in R^2$ a ser testado, ache os polígonos de Voronoi que o contêm em $O(\log n)$.
 - Os sítios desses polígonos são os vizinhos mais próximos.
 - Se $q \in P$ basta percorrer todas as arestas de $Del(P)$ incidentes em q e retornar aquela de comprimento mínimo.



Grafo dos Vizinhos mais Próximos

- Seja o GVP , aquele que associa um nó a cada ponto de P e um arco entre dois pontos se um ponto for o vizinho mais próximo do outro.
 - É um grafo não dirigido.
 - Mas porque a relação não é simétrica, pode ser definido como um grafo dirigido.
 - $GVP \subseteq Del(P)$.
 - Algoritmo força bruta é $O(n^2)$, mas o item anterior permite procurar apenas $O(n)$ arestas de $Del(P)$ e portanto pode ser feito em $O(n \log n)$.



Árvore Geradora Mínima

- A *AGM* de um conjunto de pontos é a árvore de comprimento mínimo que gera todos os pontos.
 - Consideramos aqui a norma Euclidiana.
 - Intuitivamente essa árvore pode ser construída incrementalmente pela adição das arestas mais curtas, ainda não usadas, e que não gerem ciclos.
 - Esse é o algoritmo de Kruskal (1956).
 - $AGM \subseteq Del(P)$.
 - A *AGM* no plano pode ter no máximo $\binom{n}{2}$ arestas. Logo, a complexidade da ordenação é $O(n^2 \log n)$, se for usado o grafo completo.
 - Construa $Del(P)$ em $O(n \log n)$ e ordene apenas $O(n)$ arestas em $O(n \log n)$. Assim, a complexidade total no plano é $O(n \log n)$.



Problema do Caixeiro Viajante

- Achar o caminho mínimo fechado que passa por todos os pontos (cidades) que o caixeiro viajante deve visitar.
 - O problema é NP-completo (Garey & Johnson 1979), o que significa que não há solução polinomial conhecida.
 - Heurística: ache a *AGM* dos pontos e siga-a para frente e para trás, de modo que o caminho percorrido seja o dobro do comprimento da *AGM*.

